



---

# Τεχνητά νευρωνικά δίκτυα και ευφυή υπολογιστικά συστήματα

---

## 2<sup>Η</sup> ΔΙΑΛΕΞΗ - PERCEPTRONS & ΜΑΘΗΣΗ

19/10/2021

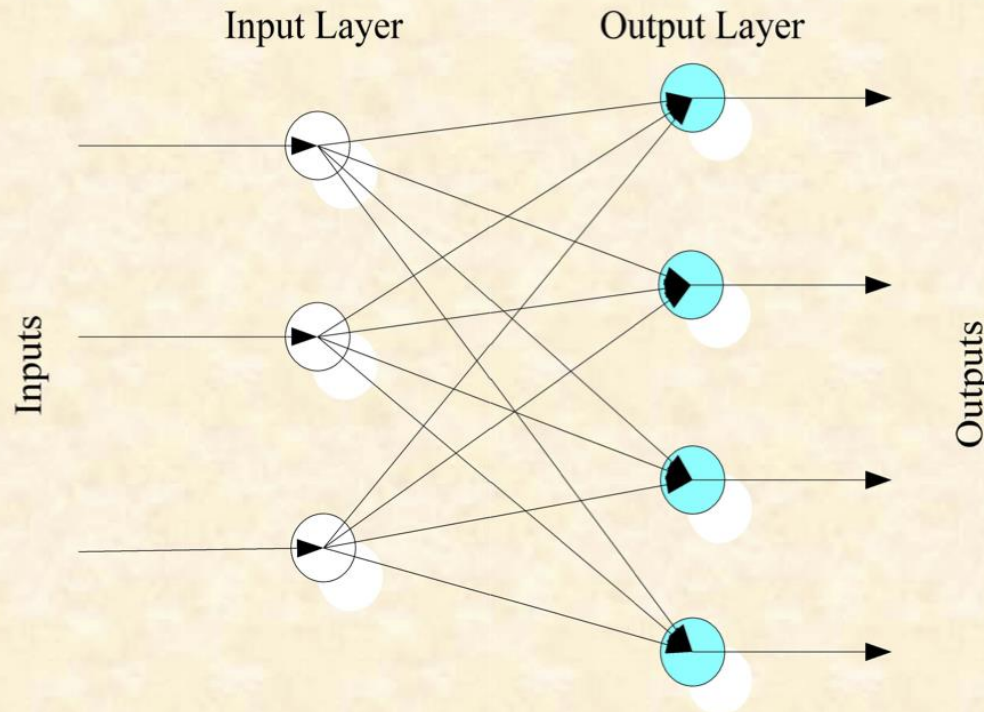


# ***Perceptron***

# Ο αλγόριθμος μάθησης του Perceptron



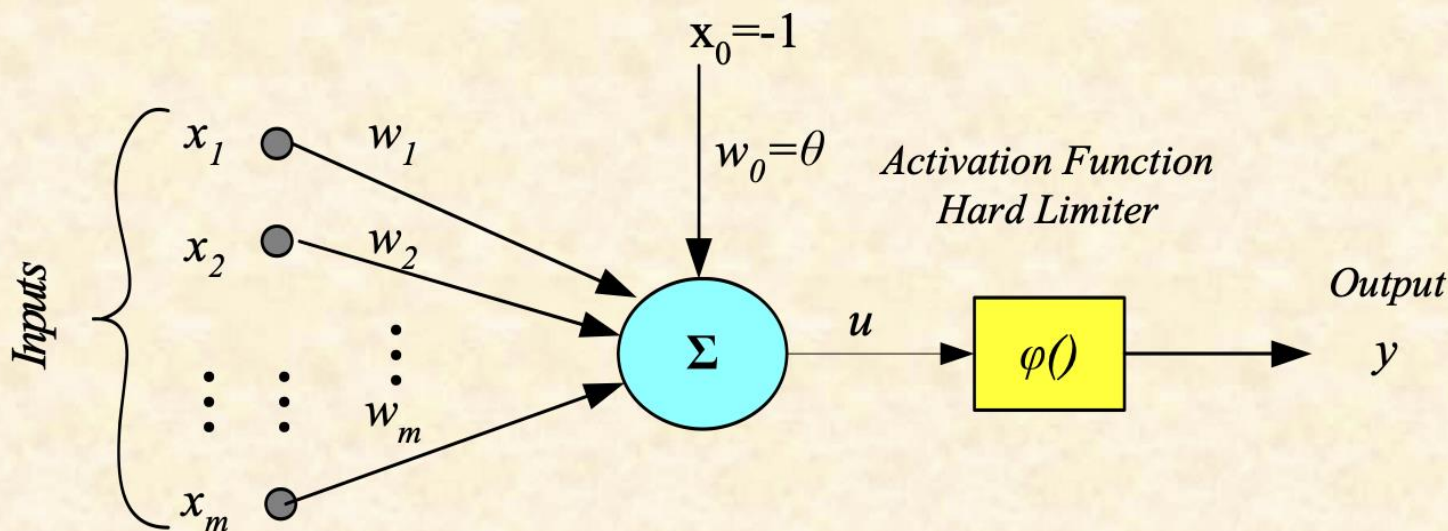
- Το Perceptron είναι η απλούστερη μορφή Νευρωνικού Δικτύου, το οποίο χρησιμοποιείται για την ταξινόμηση γραμμικά διαχωριζόμενων προτύπων. Αποτελείται από ένα επίπεδο υπολογιστικών νευρώνων που ακολουθούν το μοντέλο McCulloch – Pitts.





# Ο αλγόριθμος μάθησης του Perceptron

Για ευκολία, και χωρίς απώλεια της γενικότητας, στη συνέχεια της ενότητας θα μελετήσουμε ένα απλό perceptron αποτελούμενο **μόνο από ένα νευρώνα**



# Ο αλγόριθμος μάθησης του Perceptron



Ο σκοπός του Perceptron είναι να ταξινομήσει σωστά το σύνολο των εισόδων (προτύπων):

$x_1, x_2, \dots, x_m$

σε μία από τις δύο κλάσεις:  $C_1$  και  $C_2$ .

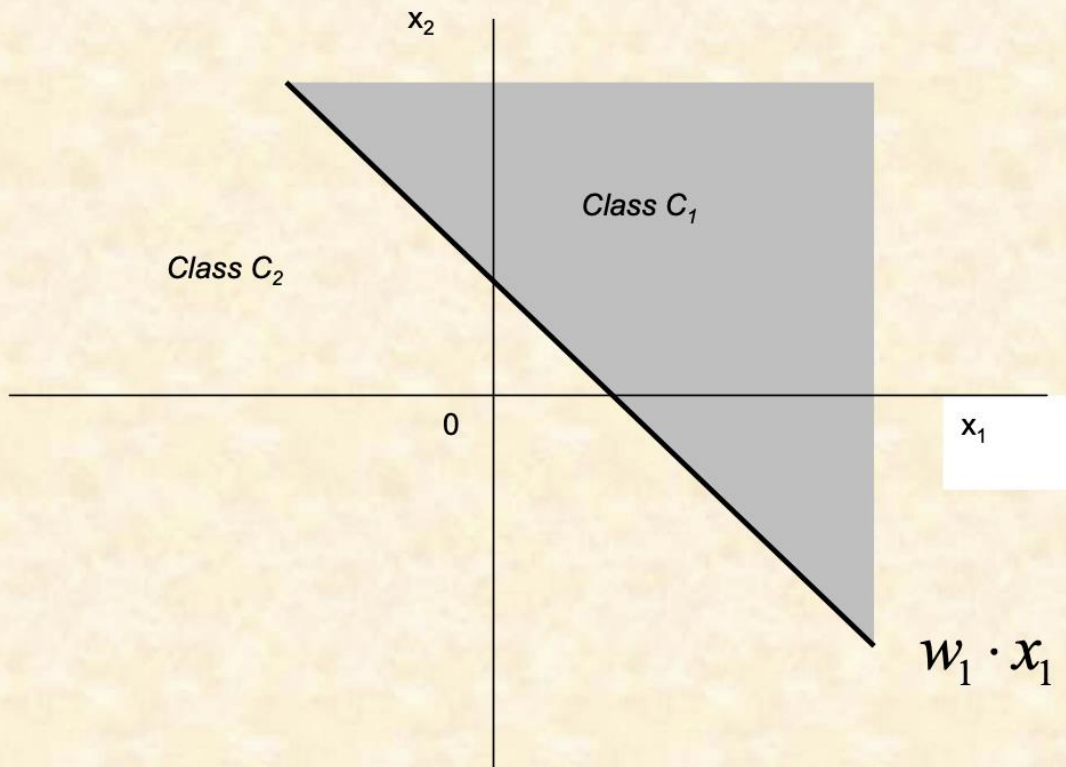
Ο κανόνας απόφασης για την ταξινόμηση είναι να αναθέτει το σημείο που αναπαριστούν τα  $x_1, x_2, \dots, x_m$  στην κλάση  $C_1$ , εάν η έξοδος  $y$  του Perceptron είναι  $+1$  και στην κλάση  $C_2$  εάν η έξοδος  $y$  του Perceptron είναι  $-1$ .

# Γραμμική Διαχωρισιμότητα



- Στην απλούστερη μορφή του Perceptron (ένας νευρώνας μόνο) υπάρχουν δύο περιοχές απόφασης που διαχωρίζονται από ένα υπερεπίπεδο το οποίο ορίζεται από τη σχέση:

$$v = \sum_{j=1}^m w_j x_j - \theta = 0$$



$$w_1 \cdot x_1 + w_2 \cdot x_2 - \theta = 0$$

# Ο Αλγόριθμος Σύγκλισης του Perceptron για ένα Perceptron με $m$ εισόδους και 1 υπολογιστικό νευρώνα - 1/2



## Μεταβλητές και Παράμετροι

$\mathbf{x}(n)$  = ο πίνακας εισόδων  $(m + 1) \times 1$  =  $[-1, x_1(n), x_2(n), \dots, x_m(n)]^T$

$\mathbf{w}(n)$  = ο πίνακας των βαρών  $(m + 1) \times 1$  =  $[\theta(n), \mathbf{w}_1(n), \mathbf{w}_2(n), \dots, \mathbf{w}_m(n)]^T$

$\theta(n)$  = το κατώφλι (threshold)

$y(n)$  = η πραγματική έξοδος (actual response)

$d(n)$  = η επιθυμητή έξοδος (desired response) – καθορίζεται από το πρόβλημα

$\eta$  = η παράμετρος μάθησης (learning - rate parameter), θετική σταθερά  $< 1$

## Βήμα 1: Αρχικοποίηση

Θέτουμε το διάνυσμα βαρών ίσο με το μηδενικό:  $\mathbf{w}(0) = 0$ .

## Βήμα 2: Ενεργοποίηση

Στο χρόνο  $n$ , ενεργοποιούμε το Perceptron εφαρμόζοντας το διάνυσμα εισόδου  $\mathbf{x}(n)$ .

# Ο Αλγόριθμος Σύγκλισης του Perceptron για ένα Perceptron με $m$ εισόδους και 1 υπολογιστικό νευρώνα – 2/2



## Βήμα 3: Υπολογισμός πραγματικής απόκρισης

Υπολογίζουμε την πραγματική απόκριση (έξοδο) του Perceptron:

$$v(n) = \mathbf{w}^T(n) \cdot \mathbf{x}(n) \quad \text{και} \quad y(n) = \text{sgn}(v(n)) = \begin{cases} +1, & v(n) \geq 0 \\ -1, & v(n) < 0 \end{cases}$$

όπου  $\text{sgn}(\bullet)$  είναι η συνάρτηση προσήμου (sign function)

## Βήμα 4: Προσαρμογή διανύσματος βαρών

Προσαρμόζουμε τα βάρη του Perceptron σύμφωνα με τον κανόνα:

$$\mathbf{w}(n+1) = \mathbf{w}(n) + \eta \cdot [d(n) - y(n)] \cdot \mathbf{x}(n)$$

όπου:

$$d(n) = \begin{cases} +1, & \text{αν το } \mathbf{x}(n) \text{ ανήκει στην κλάση } C_1 \\ -1, & \text{αν το } \mathbf{x}(n) \text{ ανήκει στην κλάση } C_2 \end{cases}$$

**Βήμα 5:** Αυξάνουμε το χρόνο  $n$  κατά μια μονάδα και επιστρέφουμε στο βήμα 2.





## ΜΗ ΓΡΑΜΜΙΚΗ ΒΕΛΤΙΣΤΟΠΟΙΗΣΗ ΧΩΡΙΣ ΠΕΡΙΟΡΙΣΜΟΥΣ

### UNCONSTRAINED NON-LINEAR OPTIMIZATION

#### ΠΡΟΒΛΗΜΑ

$$\min F(x) \rightarrow F'(x) = 0$$

#### ΛΥΣΗ

#### Επαναληπτικές Τεχνικές

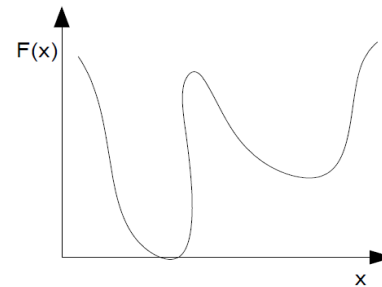
$$F: \mathbb{R}^N \rightarrow \mathbb{R}$$

$$x_0 \in \mathbb{R}^N$$

#### A) Μέθοδος του Newton

$$x_{k+1} = x_k + s_k^N$$

$$\underbrace{\nabla^2 F(x_k)}_{\text{Hessian}} s_k^N = -\lambda \nabla F(x_k)$$





Σύγκλιση : Τετραγωνική

$$\|x_{\kappa+1} - x_*\| \leq \beta\gamma \|x_{\kappa} - x_*\|^2$$

όπου,

$$F'(x) = 0$$

$\beta, \gamma$ : όρια της 1<sup>ης</sup> / 2<sup>ης</sup> παραγώγου της F

εάν  $H_c = \nabla^2 F(x_c)$  θετικά ορισμένη

τότε  $\nabla F(x_c)^T s_c^N = -\{\nabla F(x_c)\}^T \{ \nabla f(x_c) \} \langle 0$

Άρα  $F(x_c + \delta s_c^N) \langle F(x_c)$



## B) Steepest Descent (βαθύτερης καθόδου)

$$x_{k+1} = x_k - \lambda_k \nabla F(x_k)$$

Σύγκλιση : Γραμμική

$$\lim_{k \rightarrow \infty} \sup \left\| \frac{x_{k+1} - x_*}{x_k - x_*} \right\| \leq C$$

$$\left. \begin{array}{l} e_{v\max} \\ e_{v\min} \end{array} \right| = \begin{array}{l} \text{μέγιστη} \\ \text{ελάχιστη} \end{array} \text{ ιδιοτιμή της } \nabla^2 F(x_k)$$

$$C = \left[ \frac{e_{v\max} - e_{v\min}}{e_{v\max} + e_{v\min}} \right]$$

If  $e_{v\max} \gg e_{v\min}$        $C \approx 1$       Πολύ Αργή Σύγκλιση

$e_{v\max} \approx e_{v\min}$       Καλή Σύγκλιση



### Γ) Επεκτάσεις της Μεθόδου του Newton

$$\alpha) H_{\kappa} = \nabla^2 F(x_{\kappa}) + \mu_{\kappa} I$$

όπου  $\mu_{\kappa}=0$  αν  $\nabla^2 F$  θετικά ορισμένη  
 $\mu_{\kappa}>0$  αλλού

Λύση μέσω του Cholesky Decomposition

β) Backtracking πάνω στη Newton direction (Line Search)

γ) Προσδιορισμός περιοχής όπου εμπιστευόμαστε το τοπικά υπολογισμένο μοντέλο να αναπαραστήσει τη συνάρτηση (Trust Region).



### Δ) Quasi – Newton Τεχνικές

Σύγκλιση : Υπερ- Γραμμική (super linear)

$$|x_{k+1} - x_*| < c_k |x_k - x_*| \quad \text{εξαρτώμενη από την τιμή του } c_k$$

### Ε) Μη – Γραμμικά Ελάχιστα Τετράγωνα

Επίλυση Συστήματος μη Γραμμικών Εξισώσεων

i) **Gauss-Newton** ( γραμμικόποίηση γύρω από το  $x_*$ )

$$x_{k+1} = x_k - (J^T J)^{-1} R(x_k),$$

όπου

$$F(x) = \frac{1}{2} \{R(x)\}^T R(x) = \frac{1}{2} \sum_{i=1}^M r_i^2(x)$$

$$\text{και } \nabla F(x) = J^T(x) R(x)$$

$$\nabla^2 F(x) = J^T(x) J(x) + \underbrace{S(x)}$$

ο όρος  $\beta'$  βαθμού αγνοείται

Τοπικά τετραγωνική Σύγκλιση (αν  $R(x_*)=0$ )

Μη συγκλίνουσα τοπικά (σε έντονα μη γραμμικά προβλήματα)

ii) **Marquardt Levenberg**

Χρησιμοποιούμε τον πίνακα  $J^T J + \mu I$  ως προσέγγιση του Hessian.



# Συναρτήσεις Σφάλματος $F(x)$

**Sum absolute error (SAE):**

$$SAE \equiv \sum_{i=1}^P \sum_{j=1}^N |e_{ji}|$$

**Mean absolute error (MAE):**

$$MAE \equiv \frac{1}{P} \sum_{i=1}^P \sum_{j=1}^N |e_{ji}|$$





**Sum squared error (SSE):**

$$SSE \equiv \sum_{i=1}^P \sum_{j=1}^N |e_{ji}|^2$$

**Mean squared error (MSE):**

$$MSE \equiv \frac{1}{P} \sum_{i=1}^P \sum_{j=1}^N |e_{ji}|^2$$

**Relative absolute error (RAE):**

$$RAE \equiv \frac{\sum_{i=1}^P \sum_{j=1}^N |y_{ji} - \tilde{y}_{ji}|}{\sum_{i=1}^P \sum_{j=1}^N |y_{ji} - \bar{y}_{ji}|}$$

**Relative squared error (RSE):**

$$RAE \equiv \frac{\sum_{i=1}^P \sum_{j=1}^N |y_{ji} - \tilde{y}_{ji}|^2}{\sum_{i=1}^P \sum_{j=1}^N |y_{ji} - \bar{y}_{ji}|^2}$$





**Minkowski:**

$$E_{Minkowski} \equiv \left( \sum_{i=1}^P \sum_{j=1}^N e_{ji}^2 \right)^{\frac{1}{n}}$$

**Logistic:**

$$E_{logistic} \equiv k^2 \sum_{i=1}^P \sum_{j=1}^N \ln \left( \cosh \left( \frac{e_{ji}}{k} \right) \right)$$

**Cross-entropy error:**

$$E_{cross\ entropy} \equiv \frac{1}{P} \sum_{i=1}^P \sum_{j=1}^N r_j \log \left( \frac{1}{\tilde{y}_j} \right) = -\frac{1}{P} \sum_{i=1}^P \sum_{j=1}^N r_j \log \tilde{y}_j$$

Other distance metrics: **Mahalanobis, Jaccard measure, Tanimoto coefficient, Cosine measure, ...**

